

بررسی انحلال و زوال پذیری نمونه هایی از سنگ های ساختمانی در محلول های اسید سولفوریک و اسید نیتریک

محمد رضا نسکو دل^۱، امین حمشیدی^۲، ناصر حافظی مقدس^۳

گروه زمین‌شناسی مهندسی، دانشکده علوم پایه، دانشگاه تربیت مدرس، تهران، ایران
گروه زمین‌شناسی، دانشکده علوم پایه، دانشگاه صنعتی شاہرود، شاہرود، ایران

تاریخ پذیرش: ۱۳۸۹/۰۱/۲۳ تاریخ دریافت: ۱۳۸۸/۰۶/۱۶

حکیمہ

یکی از مشکلات ناشی از آلودگی هوا، بارش باران های اسیدی است. سولفات (SO_4^{2-}) و نیترات (NO_3^-) از آلاینده های شاخص مناطق با اتمسفرهای آلوده هستند که در اثر ترکیب شدن با یون های هیدروژن، محلول های اسید نیتریک را تشکیل می دهند. این محلول ها از عوامل مهم در انحلال و زوال پذیری سنگ های ساختمانی هستند. با توجه به نوع و pH محلول اسیدی، اثرات آنها روی سنگ ها متفاوت است. در این پژوهش ۱۴ نمونه سنگ ساختمانی با مشاهدهای مختلف تهیه شد و به منظور بررسی انحلال و زوال پذیری آنها و همچنین مقایسه اثر انحلالی اسید سولفوریک و اسید نیتریک، بر روی آنها آزمایش دوام (Durability Test) تا ۱۵ چرخه در این محلول ها با pH=1.5 و pH=5 و آب شرب با pH=7.3 انجام و شاخص دوام محاسبه شد. نتایج نشان می دهد نمونه های با ترکیب غیر کربناتی در برابر این اسیدها مقاوم و نمونه های با ترکیب کربناتی نامقاوم هستند. افزون بر این، مقایسه نتایج شاخص دوام نشان می دهد اثر انحلالی اسید سولفوریک نسبت به اسید نیتریک، ۰.۶ تا ۰.۰۶ درصد بیشتر است. همچنین با کاهش pH هر کدام از این اسیدها، انحلال نمونه های بیشتر شده است. در بیان با توجه به نتایج به دست آمده، مناست تین سنگ های برای نمای برونی، ساختمان های بین شهری شده است.

کلیدهای ها: اسد سو لفه، بک، اسد نت بک، pH، شاخص دوام

*نویسنده مسئول: محمد ضانیکه دل

مقدمه - ۱

(Durability Test) دوام آزمایش با انجام این اسیدها این اثراخالی مختلف و مقایسه اثر داشته است.

۲- مواد و روش پژوهش

در این پژوهش ۱۴ نمونه سنگ ساختمانی با مشاهدات مختلف تهیه شد. ویژگی‌های سنگ شناسی با تهیه مقاطع نازک و ویژگی‌های فیزیکی نمونه‌ها شامل چگالی، وزن مخصوص (G_0)، تخلخل و جذب آب بر اساس استاندارد (1981) ISRM مورد بررسی قرار گرفته است. به منظور بررسی اتحلال و زوال پذیری نمونه‌ها و همچنین مقایسه اثر اتحلالی محلول‌های اسید سولفوریک و اسید نیتریک، آزمایش دوام تا ۱۵ چرخه در این محلول‌ها با $pH=1.5$, $pH=3$, $pH=5$ و آب شرب با $pH=7.3$ انجام داد و پس از برآورد شاخص دوام ($Id_{(5)}$), نتایج مقایسه و تحلیل شد.

۳- مطالعات سنجشناستی

بررسی های سنگ نگاری نه تنها اطلاعاتی در مورد ترکیب کانی شناسی و منشاء سنگ می دهند، بلکه در ارزیابی پتانسیل انحلال پذیری و زوال پذیری سنگ ها در برآور عوامل هوازدگی شیمیایی و فیزیکی نیز یک ابزار مهم هستند (Dreesen & Dusar, 2004). انحلال و زوال پذیری سنگ ها در برآور محلول های سیدی به مقدار زیادی به متغیرهای ذاتی سنگ از جمله کانی شناسی بستگی دارد. سنگ ها به دلیل دارا داشتن کانی های تشکیل دهنده مختلف، دوام های متفاوتی در برآور محلول های سیدی از خود نشان می دهند. در این پژوهش، با تهیه مقاطع نازک از نمونه ها، ترکیب کانی شناسی آنها در زیر میکروسکوپ پلاریزان و نتایج آن در جدول ۱ آرائه شده است. در شکل ۱، نوع و نسبت سنگ های ساختمانی مورد مطالعه آورده شده است.

۴- ویژگی‌های فیزیکی

برای تعیین ویژگی‌های فیزیکی نمونه‌ها شامل چگالی، وزن مخصوص (G_s),

دوام سنگ‌ها در شرایط اقلیمی متغیر و شدید یک عامل تعیین کننده برای پایداری سنگ‌های به کار برد شده در ساختمان‌ها است (Yavuz et al., 2006). براساس تعريف، دوام سنگ عبارت است از ارزیابی و سنجش مقاومت سنگ در برابر هوازدگی، حفظ شکل، اندازه و وضعیت ظاهری اولیه در یک مدت زمان طولانی در شرایط محیطی حاکم بر سنگ (Bell, 1993). سنگ‌هایی که به عنوان نما در بیرون از ساختمان استفاده می‌شوند بدلیل این که در معرض عوامل مختلف مانند باران‌های اسیدی قرار می‌گیرند، پس از مدتی کارایی و دوام خود را از دست می‌دهند. بنابراین، برای استفاده از سنگ‌ها در نمای بیرونی ساختمان‌ها، ضروری است تأثیر باران‌های اسیدی روی آنها بررسی شود. باران اسیدی در اتمسفرهای آلوده شهری هنگامی به وجود می‌آید که pH باران بر اثر حل شدن گازهایی مثل دی‌اسیدی‌گوگرد (SO_2) و اسیدهای نیتروژن (NO_x) کاهش یابد و به مقدار کمتر از ۵ برسد (Winkler, 1994; Bell, 2004). باران اسیدی می‌تواند باعث اتلافات و نیترات (NO_3^-) از آلاینده‌های شاخص مناطق باشد. سولفات‌های نیتروژن، منواکسید کربن و دی‌اسید کربن و واکنش آنها با سنگ‌ها، باعث اتحلال و زوال پذیری سنگ‌ها می‌شود. سولفات‌های نیتروژن (SO_4^{2-}) از آلاینده‌های اتمسفرهای آلوده هستند که در اثر ترکیب شدن با یون‌های هیدروژن، محلول‌های اسید سولفوریک (H_2SO_4) و اسید نیتریک (HNO_3) را تشکیل می‌دهند که از عوامل مهم در اتحلال، زوال پذیری و کاهش طول دوام سنگ‌های ساختمانی هستند (Winkler, 1994). تأثیر محیط‌های مختلف روی سنگ‌ها و خاک‌ها توسط Butlin et al., 1992; Kamon et al., 1996 (Singh et al., 1999; Singh et al., 2005; Sunil et al., 2006) تعدادی از پژوهشگران بررسی شد (Singh et al., 2006). بررسی نشان داد مقدار pH تأثیر مهمی روی این ویژگی‌ها دارد. Singh et al. (2005) اثربخشی pH بر روی شاخص دوام شیل‌ها را در شرایط آزمایشگاهی بررسی کردند. در پژوهش حاضر به بررسی اتحلال و زوال پذیری نمونه‌هایی از سنگ‌های ساختمانی در محلول‌های اسید سولفوریک و اسید نیتریک در pH‌های

است. همچنین با کاهش pH از ۵ به ۱/۵، اختلاف بین شاخص دوام نمونهها در این دو اسید افزایش می‌یابد (جدول ۳)، به طوری که در مرمر کرمان از ۰/۹۰ به ۰/۹۳ درصد، در سنگ آهک سنتنج از ۰/۰۶ به ۰/۷۳ درصد، در مرمر سیرجان از ۰/۰۹ به ۰/۷۶ درصد، در سنگ آهک آنارک (۱) از ۰/۱۲ به ۰/۸۰ درصد، در سنگ آهک آنارک (۲) از ۰/۱۲ به ۰/۸۶ درصد، در تراورتن ماکو از ۰/۱۴ به ۰/۶۳ درصد و در تراورتن محلات از ۰/۰۱۷ به ۰/۰۴۴ درصد تغییر می‌کند. این موضوع نشان‌دهنده افزایش اختلاف انحلالپذیری نمونهها در این اسیدها با کاهش pH است. نتایج بدست آمده در این پژوهش با نتایج بدست آمده توسط Gupta & Ahmed (2007) متفاوت را بررسی کرده بودند، همخوانی دارد. نتایج این اسیدها با کانی‌شناسی pH که اثر آب و ویژگی‌های کانی‌شناسی روی شاخص دوام سنگ‌هایی با منشأهای مختلف را تغییر می‌نمایند در صورتی که نمونه‌های غنی از کوارتز، فلدسپار و مسکوویت مستقل از pH محلول آزمایش دوام هستند.

با توجه به این که کربنات کلسیم کانی اصلی تشکیل دهنده نمونه‌های کربناتی مورد مطالعه است در ادامه به منظور بررسی اثر انحلالی محلول‌های اسید سولفوریک و اسید نیتریک، به انحلالپذیری کربنات کلسیم در این محلول‌ها پرداخته شده است. انحلالپذیری کربنات کلسیم به صورت رابطه زیر تعریف می‌شود (توسلی و همکاران، ۱۳۸۰):

$$K'sp = [Ca^{2+}][Co_3^{2-}] = \frac{Ksp}{f_{Ca^{2+}} \times f_{Co_3^{2-}}} \quad (3)$$

که در آن $K'sp$ حاصل ضرب انحلالپذیری بر مبنای غلظت، $[Ca^{2+}]$ و $[Co_3^{2-}]$ غلظت، Ksp حاصل ضرب انحلالپذیری دینامیکی کربنات کلسیم که مقدار ثابتی است، $f_{Ca^{2+}}$ و $f_{Co_3^{2-}}$ ضریب فعالیت یون‌های Ca^{2+} و Co_3^{2-} هستند که با توجه به شرایط محیطی قابل تغییرند. این تغییرات از رابطه حدی دبای- هوکل به دست می‌آیند.

$$\text{رابطه ۴} \quad (4) \quad -\log f_{Ca^{2+}} = 0.51 Z_{Ca^{2+}}^2 \sqrt{\mu}$$

که در آن Z ضریب فعالیت یون Ca^{2+} بار یون Z بار یون μ قدرت یونی الکتروولیت (اسید)

$$\text{رابطه ۵} \quad (5) \quad -\log f_{Co_3^{2-}} = 0.51 Z_{Co_3^{2-}}^2 \sqrt{\mu}$$

که در آن Z ضریب فعالیت و Co_3^{2-} بار یون μ قدرت یونی الکتروولیت (اسید)

$$\text{رابطه ۶} \quad (6) \quad \mu = \frac{1}{2} \sum Z_i^2 \times [C_i]$$

μ قدرت یونی الکتروولیت (اسید)، $[C_i]$ غلظت یون‌ها و Z_i^2 بار یون‌هاست. در جدول ۵ بر اساس روابط (۳) تا (۶) $K'sp$ کربنات کلسیم در اسید سولفوریک و اسید نیتریک محاسبه شده است. همان‌طور که دیده می‌شود $K'sp$ کربنات کلسیم در اسید سولفوریک بسیار بیشتر است. این موضوع به دلیل بیشتر بودن قدرت یونی اسید نیتریک با pHهای یکسان بیشتر است. این دلیل احتلال پذیری ($K'sp$) بیشتر کربنات کلسیم و در نتیجه موجب پایین تر بودن شاخص دوام نمونه‌ها در اسید سولفوریک نسبت به اسید نیتریک می‌شود. همچنین با کاهش pH اختلاف میان شاخص دوام نمونه‌ها در این دو اسید افزایش می‌یابد (جدول ۴). این موضوع به دلیل افزایش اختلاف $K'sp$ کربنات کلسیم در این دو اسید با کاهش pH است (جدول ۶ و شکل ۱۰).

۷- بحث

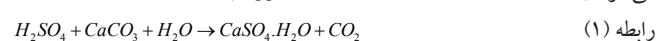
بر اساس مطالعات کانی‌شناسی و آزمایش شاخص دوام در محلول‌های اسید سولفوریک و اسید نیتریک با pHهای ۱.۵، ۳ و ۵ و آب آشامیدنی با pH=۷.۳ دیده شد ترکیب کانی‌شناسی، مقدار pH و نوع اسید از عوامل مهم در انحلال

تخلخل و جذب آب از روش استاندارد (ISRM 1981) استفاده شده است. نتایج میانگین مقادیر به دست آمده از آزمایش‌های فیزیکی نمونه‌ها در جدول ۲ و شکل‌های ۲ و ۳ ارائه شده است. لازم به یادآوری است که بر روی هر کدام از نمونه‌ها ۵ آزمایش انجام شده و نتایج ارائه شده در این جدول، میانگین مقادیر این آزمایش‌ها هستند. وزن مخصوص (G_s) نمونه‌ها متأثر از ترکیب کانی‌شناسی است که وزن مخصوص (G_s) به نوبه خود نمونه‌های با ترکیب چگالی تأثیر می‌گذارد. با توجه به این موضوع و بر اساس جدول ۱ و ۲ دیده می‌شود نمونه‌های با ترکیب کانی‌شناسی کربناتی وزن مخصوص بیشتر از ۲/۶۸ و نمونه‌های با ترکیب غیر کربناتی (به استثنای آمفیبولیت بیرجند) وزن مخصوص کوچک‌تر از ۲/۶۹ (Bell, 1979) (بر اساس طبقه‌بندی چگالی بالا (۲/۵۵-۲/۷۵) و متوسط (۲/۲-۲/۵۵) و تخلخل خیلی پایین (کمتر از ۱٪) و پایین (۱-۵٪) قرار گرفته‌اند.

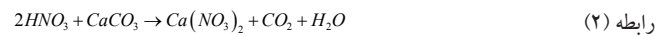
۵- انحلال و زوالپذیری نمونه‌ها در محلول‌های اسیدی و رابطه آن با ترکیب کانی‌شناسی

به منظور بررسی انحلال و زوالپذیری نمونه‌ها و همچنین مقایسه اثر انحلالی محلول‌های اسید سولفوریک و اسید نیتریک، آزمایش دوام، براساس استاندارد ISRM (1981) تا ۱۵ چرخه در هر یک از این محلول‌ها با pH=۵، pH=۳، pH=۱.۵ چرخه در هر یک از این محلول‌ها با pH=۷.۳ انجام شد. شکل ۴ دستگاه آزمایش دوام و نمونه‌های شده برای آزمایش را نشان می‌دهد.

نتایج بدست آمده از محاسبه شاخص دوام (I_d) در جدول ۳ و به صورت نمودار سنتونی در شکل‌های ۵ و ۶ آورده شده است. با توجه به شکل‌های ۵ و ۶، دیده می‌شود شاخص دوام نمونه‌هایی با ترکیب کانی‌شناسی غیر کربناتی (توف فرخزاد، گرانیت مشهد، آمفیبولیت بیرجند، ایگنبریت نایین، داسیت یزد، گرانیت ناییندان، تراکیت سبزوار) در محلول‌های اسیدی نسبت به آب آشامیدنی (pH=7.3) تغییرات بسیار جزیی و کم و بیش نامحسوسی است. این نشان می‌دهد که نمونه‌هایی با ترکیب کانی‌شناسی غیر کربناتی در برابر محلول‌های اسیدی مقاوم هستند و دچار انحلال نشده‌اند. از طرف دیگر، شاخص دوام نمونه‌هایی با ترکیب کانی‌شناسی کربناتی (مرمر کرمان، سنگ آهک سنتنج، مرمر سیرجان، سنگ آهک آنارک، تراورتن ماکو، تراورتن محلات) در محلول‌های اسیدی نسبت به آب آشامیدنی کمتر است. این نشان می‌دهد نمونه‌هایی با ترکیب کانی‌شناسی کربناتی در برابر محلول‌های اسیدی نامقاوم هستند و دچار انحلال شده‌اند. همچنین با کاهش pH، شاخص دوام نمونه‌هایی که نشان دهنده افزایش اثر انحلالی اسید سولفوریک و نیتریک با کاهش pH است. اسید سولفوریک بر اساس رابطه (۱) با کربنات کلسیم واکنش می‌دهد و باعث احتلال کربنات کلسیم و تشکیل ژپس می‌شود (Zappia et al., 1998; Giavarini et al., 2008).



واکنش اسید نیتریک با کربنات کلسیم بر اساس رابطه (۲) صورت می‌گیرد (Bravo et al., 2006).



۶- مقایسه اثر انحلالی اسید سولفوریک و اسید نیتریک

در شکل‌های ۷ تا ۱۰ شاخص دوام (I_d) نمونه‌های کربناتی در pHهای یکسان اسید سولفوریک و اسید نیتریک و آب آشامیدنی با pH=۷.۳ به منظور مقایسه اثر انحلالی این اسیدها روی نمونه‌های کربناتی نشان داده شده است. همان‌گونه که دیده می‌شود شاخص دوام نمونه‌ها در اسید سولفوریک نسبت به اسید نیتریک با pHهای یکسان کمتر است که نشان دهنده بیشتر بودن اثر انحلالی اسید سولفوریک

دوام نمونه‌های کربناتی در اسید سولفوریک نسبت به اسید نیتریک نشان می‌دهد که اثر انحلالی اسید سولفوریک بیشتر از اسید نیتریک است.

۸- نتیجه‌گیری

- نتایج آزمایش دوام در محلول‌های اسید سولفوریک و اسید نیتریک نشان می‌دهد نمونه‌های با ترکیب غیرکربناتی در برابر این محلول‌ها مقاوم و نمونه‌های با ترکیب کربناتی نامقاوم هستند.

- با کاهش pH محلول‌های اسید سولفوریک و اسید نیتریک، شاخص دوام نمونه‌های با ترکیب کربناتی کاهش پیدا کرده است که نشان‌دهنده افزایش اثر انحلالی این محلول‌ها با کاهش pH است.

- شاخص دوام نمونه‌های با ترکیب کربناتی نشان می‌دهد اسید سولفوریک اثر انحلالی بیشتری نسبت به اسید نیتریک با pH های یکسان دارد. این موضوع به دلیل بیشتر بودن قدرت یونی اسید سولفوریک و در نتیجه بیشتر بودن K_{sp} کربنات کلسیم در اسید سولفوریک نسبت به اسید نیتریک است.

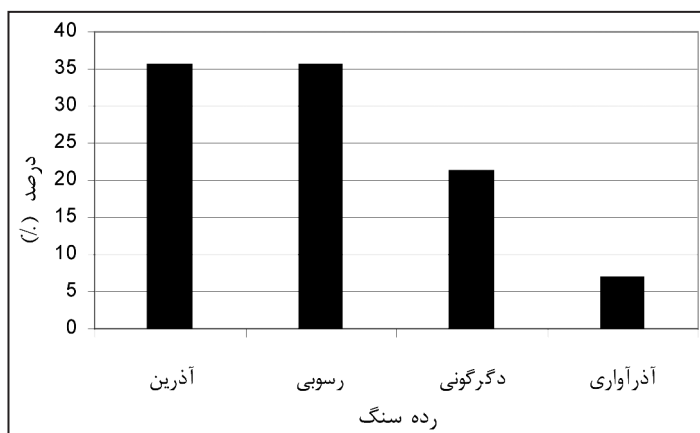
- با کاهش pH اختلاف شاخص دوام نمونه‌های کربناتی در اسید سولفوریک و اسید نیتریک به طور متوسط از ۰/۹۳ به ۰/۰۶ درصد افزایش می‌یابد. این موضوع به دلیل افزایش اختلاف K_{sp} کربنات کلسیم در این دو اسید با کاهش pH است.

- با توجه به نتایج آزمایش دوام در محلول‌های اسید سولفوریک و اسید نیتریک، توف فرخزاد، گرانیت مشهد، آمفیبولیت بیرجند، ایگنومبریت نایین، داسیت یزد، گرانیت ناییندان و تراکیت سبزوار مناسب‌ترین سنگ‌ها برای استفاده در مناطق با اتمسفرهای آلوده هستند.

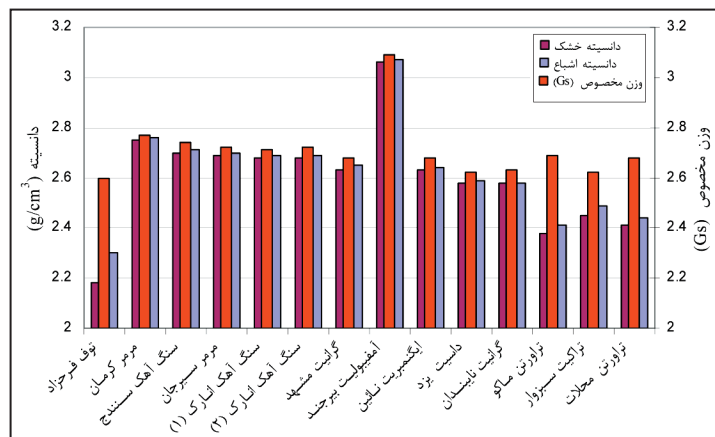
سپاسگزاری

در پایان، از مسئولان آزمایشگاه زمین‌شناسی مهندسی دانشگاه تربیت مدرس به دلیل همکاری در طول انجام این پژوهش تشکر و قدردانی می‌شود.

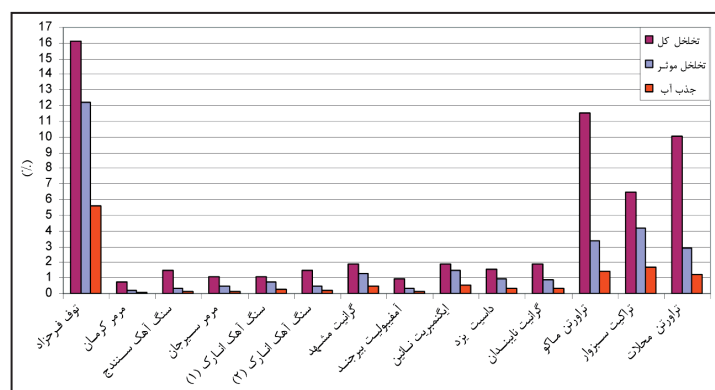
نمونه‌های مورد مطالعه هستند. نتایج آزمایش شاخص دوام در محلول‌های اسیدی و آب آشامیدنی نشان می‌دهد که نمونه‌هایی با ترکیب کانی‌شناسی غیرکربناتی شامل توف فرخزاد، گرانیت مشهد، آمفیبولیت بیرجند، ایگنومبریت نایین، داسیت یزد، گرانیت ناییندان و تراکیت سبزوار در برابر محلول‌های اسیدی مقاوم هستند و دچار انحلال نشده‌اند، اما نمونه‌هایی با ترکیب کربناتی شامل مرمر کرمان، سنگ‌آهک سنندج، مرمر سیرجان، سنگ‌آهک اثارک، تراورتن ماکو و تراورتن محلات در برابر محلول‌های اسیدی نامقاوم بوده و دچار انحلال شده‌اند. در واقع نمونه‌های غنی از کربنات کلسیم تحت تأثیر محلول‌های اسیدی قرار گرفته‌اند در صورتی که نمونه‌های غنی از کوارتز، فلدسپار و بیوتیت مستقل از pH محلول‌های اسیدی هستند. با کاهش pH اسید سولفوریک از ۵ به ۱/۵، شاخص دوام (Id_{15}) نمونه‌های با ترکیب غیرکربناتی تغییرات بسیار جزیی و تقریباً نامحسوس دارد اما شاخص دوام (Id_{15}) نمونه‌های با ترکیب کربناتی کاهش می‌یابد (جدول ۳)، به گونه‌ای که مرمر کرمان از ۹۷/۳۰ به ۹۵/۹۴، سنگ‌آهک سنندج از ۹۷/۱۷ به ۹۵/۸۹، مرمر سیرجان از ۹۵/۶۲ به ۹۴/۲۸، سنگ‌آهک اثارک (۱) از ۹۷/۷۳ به ۹۶/۴۷، سنگ‌آهک اثارک (۲) از ۹۷/۵۹ به ۹۶/۳۵، تراورتن ماکو از ۹۶/۳۰ به ۹۴/۸۶ و تراورتن محلات از ۹۶/۲۳ به ۹۵/۲۰ تغییر می‌کند. افزون بر این با کاهش pH اسید نیتریک از ۵ به ۱/۵، شاخص دوام (Id_{15}) مرمر کرمان از ۹۷/۳۹ به ۹۶/۸۷، سنگ‌آهک سنندج از ۹۷/۲۳ به ۹۶/۶۲، مرمر سیرجان از ۹۵/۷۱ به ۹۵/۰۴، سنگ‌آهک اثارک (۱) از ۹۷/۸۱ به ۹۶/۶۲، سنگ‌آهک اثارک (۲) از ۹۷/۲۷ به ۹۷/۷۱، تراورتن ماکو از ۹۶/۴۴ به ۹۵/۴۹ و تراورتن محلات از ۹۶/۴۰ به ۹۵/۶۴ تغییر می‌کند. در واقع کاهش شاخص دوام نمونه‌های کربناتی با کاهش pH نشان می‌دهد که مقدار pH نقش مهمی در شدت انحلال این نمونه‌ها دارد. همچنین شاخص دوام (Id_{15}) نمونه‌های کربناتی نشان می‌دهد نوع اسید، یکی از عوامل مهم دیگر در شدت انحلال نمونه‌ها است (جدول ۳). به طور مثال شاخص دوام (Id_{15}) مرمر کرمان در pH=5 اسید سولفوریک و اسید نیتریک به ترتیب برابر ۰/۹۷/۳۹ و ۰/۹۷/۳۰ در pH=3 به ترتیب برابر با ۰/۹۶/۹۵ و ۰/۹۶/۸۷ است. پایین تر بودن شاخص



شکل ۱- نوع و نسبت سنگ‌های ساختمانی مورد بررسی



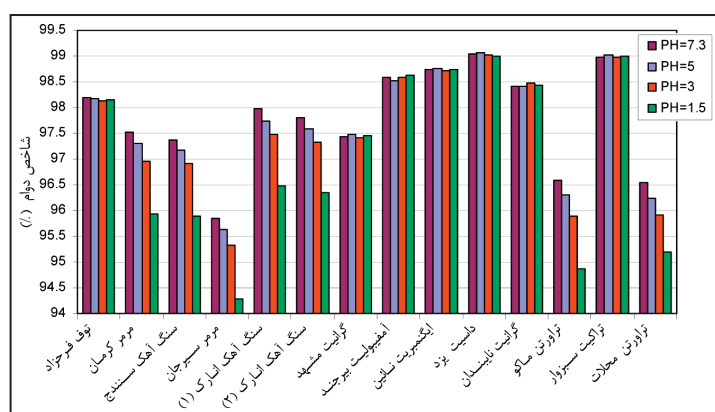
شكل ۲- نمودار ستونی دانسته خشک، دانسته اشیاع و وزن مخصوص (Gs) نمونه‌ها



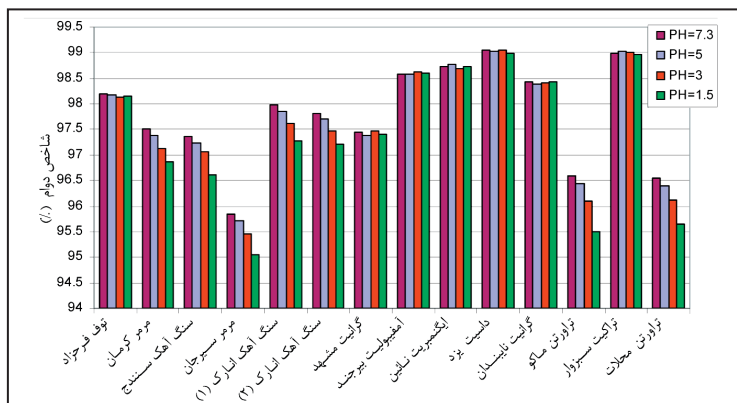
شکل ۳- نمودار ستونی تخلخل مؤثر، تخلخل کل و جذب آب نمونه‌ها



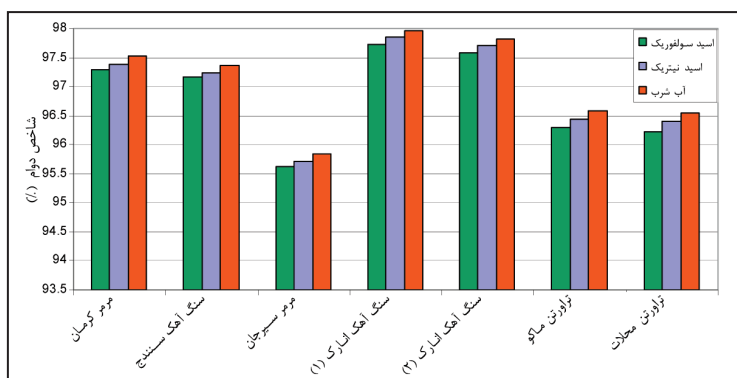
شکا ۴-الف) دستگاه آزمایش دوام ب) نمونهای تهیه شده برای آزمایش



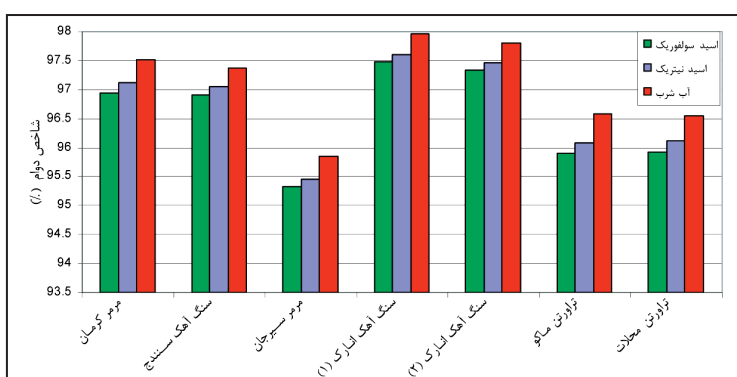
شکل ۵- نمودار ستونی شاخص دوام (Id) در pH های مختلف اسید سولفوریک و آب آشامندنی با pH=7.3



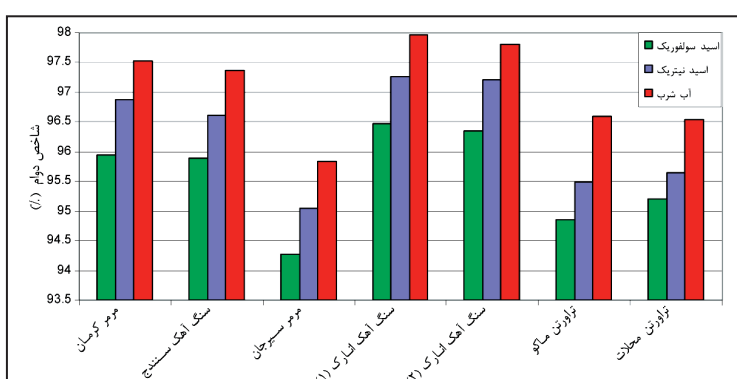
شکل ۶- نمودار ستونی شاخص دوام (Id) در pHهای مختلف اسید نیتریک و آب آشامیدنی با pH=7.3



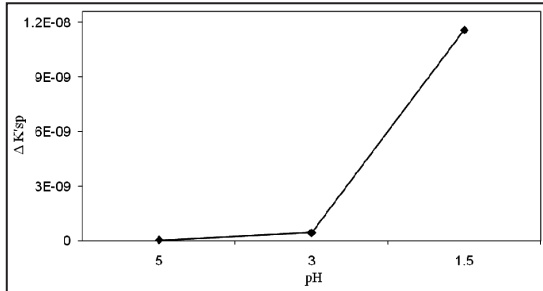
شکل ۷- نمودار ستونی شاخص دوام (Id₁₅) در pH=5 اسید سولفوریک و اسید نیتریک و آب آشامیدنی با pH=7.3



شکا-۸-نمه دارسته نیز شاخص درام (Id) pH=3 است و اسید سو لفه، یک و آب آشامیدن با pH=7.3 است.



pH=7.31، pH=1.5 و pH=1.0 (لذوق حامض) (Fig. 9).



شکل ۱۰- اختلاف $K'sp$ کربنات کلسیم در اسید سولفوریک و اسید نیتریک در pH های مختلف

جدول ۱- نام زمین شناسی، رده و ترکیب کانی شناسی نمونه ها

نام زمین شناسی	رده
شیشه آتشفشاری در حال تبلور دوباره به کوارتز (۲۵٪) - کوارتز (۶۵٪) - پلازیو کلاز (۵٪) - فلدسپار پتاسیم (۵٪)	آذر آواری
میکرو اسپارایت (۱۰۰٪)	دگرگونی مرمر
زمینه میکرایت (۷۵٪) - رگه های کلسیت اسپاری همراه با کانی های کدر (۲۵٪)	رسوبی سنگ آهک
کلسیت اسپاری (۱۰۰٪)	دگرگونی مرمر
کلسیت اسپاری و فسیل اسپاریتی شده (۴۰٪) - زمینه میکرایت (۳۰٪) - دولومیت (۳۰٪)	رسوبی سنگ آهک
کلسیت اسپاری و فسیل اسپاریتی شده (۵۵٪) - زمینه میکرایت (۳۵٪) - دولومیت (۱۰٪)	رسوبی سنگ آهک
کوارتز (۵۰٪) - فلدسپار قلایی در حال تجزیه به سریسیت (۳۰٪) - بیوتیت (۱۰٪) - مسکوویت (۱۰٪)	آذرین آکالی گرانیت
آمفیبولیت در حال تجزیه به کلریت (۳۵٪) - پلازیو کلاز آلیتی و الیگو کلازی (۳۰٪) - گارنت (۲۰٪) - اسفن (۱۰٪) - اپیدوت (۵٪)	دگرگونی آمفیبولیت
شیشه آتشفشاری (۶۵٪) - خرد سنگ با ترکیب آندزیتی و تراکیتی (۲۰٪) - شیشه آتشفشاری در حال تبلور دوباره به کوارتز (۱۰٪) - فلدسپات پتاسیم (۵٪)	آذرین ایگنیبریت
زمینه شیشه آتشفشاری (۵۵٪) - فلدسپار قلایی (۲۵٪) - کوارتز (۱۵٪) - بیوتیت (۵٪)	آذرین داسیت
کوارتز (۴۵٪) - فلدسپار آکالان (۴۰٪) - پلازیو کلاز (۱۰٪) - بیوتیت (۵٪)	آذرین آکالی گرانیت
زمینه میکرو اسپارایت (۵۵٪) - اکسید های آهن (۳۵٪) - کلسیت اسپاری (۱۰٪)	رسوبی تراورتن
زمینه کوارتز و فلدسپار ریز بلور (۶۵٪) - فلدسپار (۱۵٪) - کوارتز (۱۰٪) - بیوتیت (۱۰٪)	آذرین تراکیت
کلسیت اسپاری (۵۵٪) - زمینه میکرو اسپارایت (۴۵٪)	رسوبی تراورتن

جدول ۲- نتایج آزمون تعیین ویژگی های فیزیکی نمونه ها

نام سنگ	چگالی خشک (g/cm³)	چگالی اشباع (g/cm³)	تخلخل کل (%)	تخلخل مؤثر (%)	جذب آب (%)
توف فرخزاد	۲/۱۸	۲/۳۰	۲/۶۰	۱۲/۲۱	۱۶/۱۵
مرمر کرمان	۲/۷۵	۲/۷۶	۲/۷۷	۰/۲۲	۰/۷۲
سنگ آهک سنتندج	۲/۷۰	۲/۷۱	۲/۷۴	۰/۳۷	۱/۴۶
مرمر سیرجان	۲/۶۹	۲/۷۰	۲/۷۲	۰/۴۴	۱/۱۰
سنگ آهک آنار ک (۱)	۲/۶۸	۲/۶۹	۲/۷۱	۰/۷۷	۱/۱۱
سنگ آهک آنار ک (۲)	۲/۶۸	۲/۶۹	۲/۷۲	۰/۴۶	۱/۴۷
آلکالی گرانیت مشهد	۲/۶۳	۲/۶۵	۲/۶۸	۱/۲۶	۱/۸۷
آمفیبولیت بیر جند	۳/۰۶	۳/۰۷	۳/۰۹	۰/۳۵	۰/۹۷
ایگنیبریت نائین	۲/۶۳	۲/۶۴	۲/۶۸	۱/۴۸	۱/۸۷
داسیت یزد	۲/۵۹	۲/۵۹	۲/۶۲	۰/۹۶	۱/۵۳
آلکالی گرانیت نایین	۲/۵۸	۲/۵۸	۲/۶۳	۰/۹۱	۱/۹۰
تراورتن ماکو	۲/۳۸	۲/۴۱	۲/۶۹	۳/۳۶	۱۱/۵۲
تراکیت سیزوار	۲/۴۵	۲/۴۹	۲/۶۲	۴/۱۵	۶/۴۹
تراورتن محلات	۲/۴۱	۲/۴۴	۲/۶۸	۲/۹۳	۱۰/۰۷

جدول ۳- شاخص دوام (Id₁₅) نمونه‌ها در آب آشامیدنی و محلول‌های اسیدی با pHهای مختلف

شاخص دوام (Id ₁₅)							نام سنگ
اسید نیتریک			اسید سولفوریک			آب آشامیدنی	
pH=1.5	pH=3	pH=5	pH=1.5	pH=3	pH=5	pH=7.3	
۹۸/۱۵	۹۸/۱۲	۹۸/۱۷	۹۸/۱۶	۹۸/۱۴	۹۸/۱۸	۹۸/۲۰	توف فرجزاد
۹۶/۸۷	۹۷/۱۲	۹۷/۳۹	۹۵/۹۴	۹۶/۹۵	۹۷/۳۰	۹۷/۵۲	مرمر کرمان
۹۶/۶۲	۹۷/۰۵	۹۷/۲۳	۹۵/۸۹	۹۶/۹۱	۹۷/۱۷	۹۷/۳۷	سنگ آهک سنندج
۹۵/۰۴	۹۵/۴۵	۹۵/۷۱	۹۴/۲۸	۹۵/۳۳	۹۵/۶۲	۹۵/۸۴	مرمر سیرجان
۹۷/۲۷	۹۷/۶۱	۹۷/۸۵	۹۶/۴۷	۹۷/۴۸	۹۷/۷۳	۹۷/۹۷	سنگ آهک انار ک (۱)
۹۷/۲۱	۹۷/۴۷	۹۷/۷۱	۹۶/۳۵	۹۷/۳۳	۹۷/۵۹	۹۷/۸۱	سنگ آهک انار ک (۲)
۹۷/۴۱	۹۷/۴۷	۹۷/۳۹	۹۷/۴۵	۹۷/۴۱	۹۷/۴۸	۹۷/۴۴	آلکالی گرانیت مشهد
۹۸/۶۰	۹۸/۶۳	۹۸/۵۷	۹۸/۶۲	۹۸/۵۸	۹۸/۵۳	۹۸/۵۹	آمفیبولیت بیر جند
۹۸/۷۷	۹۸/۶۹	۹۸/۷۷	۹۸/۷۴	۹۸/۷۱	۹۸/۷۶	۹۸/۷۳	ایگنیمیریت نائین
۹۸/۹۹	۹۹/۰۵	۹۹/۰۲	۹۹/۰۱	۹۹/۰۳	۹۹/۰۶	۹۹/۰۴	داسیت پزد
۹۸/۴۴	۹۸/۴۰	۹۸/۳۹	۹۸/۴۴	۹۸/۴۷	۹۸/۴۱	۹۸/۴۲	آلکالی گرانیت ناییندان
۹۵/۴۹	۹۶/۰۹	۹۶/۴۴	۹۶/۸۶	۹۵/۹۰	۹۶/۳۰	۹۶/۵۹	تراورتن ماکو
۹۸/۹۶	۹۹/۰۱	۹۹/۰۳	۹۹	۹۸/۹۷	۹۹/۰۲	۹۸/۹۸	تراکیت سبزوار
۹۵/۶۴	۹۶/۱۱	۹۶/۴۰	۹۵/۲۰	۹۵/۹۲	۹۶/۲۳	۹۶/۵۴	تراورتن محلات

جدول ۴- اختلاف شاخص دوام (Id₁₅) نمونه‌های کربناتی در اسید سولفوریک و اسید نیتریک با pH یکسان

نام سنگ	pH	۵	۳	۱/۵
مرمر کرمان		۰/۰۹	۰/۱۷	۰/۹۳
سنگ آهک سنندج		۰/۰۶	۰/۱۴	۰/۷۳
مرمر سیرجان		۰/۰۹	۰/۱۲	۰/۷۶
سنگ آهک انار ک (۱)		۰/۱۲	۰/۱۳	۰/۸۰
سنگ آهک انار ک (۲)		۰/۱۲	۰/۱۴	۰/۸۶
تراورتن ماکو		۰/۱۴	۰/۱۹	۰/۶۳
تراورتن محلات		۰/۱۷	۰/۱۹	۰/۴۴

جدول ۵- مقادیر K'sp کربنات کلسیم محاسبه شده در اسید سولفوریک و اسید نیتریک با pHهای مختلف

پارامتر \ محلول	اسید سولفوریک			اسید نیتریک		
	pH=5	pH=3	pH=1.5	pH=5	pH=3	pH=1.5
μ	$1/5 \times 10^{-5}$	$1/5 \times 10^{-3}$	$1/5 \times 10^{-1/5}$	1×10^{-5}	1×10^{-3}	$1 \times 10^{-1/5}$
f_{Ca}^{2+}	۰/۹۸۲	۰/۸۳۴	۰/۳۵۹	۰/۹۸۵	۰/۸۶۱	۰/۴۳۴
$f_{CO_3}^{2-}$	۰/۹۸۲	۰/۸۳۴	۰/۳۵۹	۰/۹۸۵	۰/۸۶۱	۰/۴۳۴
K _{sp}	$4/8 \times 10^{-9}$	$4/8 \times 10^{-9}$	$4/8 \times 10^{-9}$	$4/8 \times 10^{-9}$	$4/8 \times 10^{-9}$	$4/8 \times 10^{-9}$
K' sp	$4/98 \times 10^{-9}$	$6/91 \times 10^{-9}$	$3/71 \times 10^{-8}$	$4/94 \times 10^{-9}$	$6/46 \times 10^{-9}$	$2/55 \times 10^{-8}$

جدول ۶- اختلاف K'_{sp} کربنات کلسیم محاسبه شده در اسید سولفوریک و اسید نیتریک در pHهای مختلف

pH	5	3	1.5
$\Delta K'_{sp}$	4E-11	4.5E-10	1.16E-8

کتابخانه

توصیلی، و.، خلیلی، ه.، مقصومی، ع.، ۱۳۸۰- مبانی شیمی تجزیه، جلد اول، چاپ چهارم، ترجمه اسکوگ، وست. هالر، تهران: مرکز نشر جهاد دانشگاهی، ۳۹۰ ص

References

- Bell, F. G., 1993- Durability of carbonate rock as building stone with comments on its preservation, Environmental Geology, 21, 187-200.
- Bell, F. G., 2000- Engineering Properties of Soils and Rocks, 2nd edition, Blackwell Science, 482p.
- Bell, F. G., 2004- Engineering Geology and Construction, 1st edition, Spon Press, 797p.
- Bravo, A., Soto A. R., Sosa, E. R., Sanchez, A. P., Alarcon, J. A. L., Kahl, J. & Ruiz, B., 2006- Effect of acid rain on building material of the El Tajin archaeological zone in Veracruz, Mexico, Environmental Pollution, 144, 655-660.
- Butlin, R. N., Coote, A. T., Devenish, M., Hughes, I. S. C., Hutchens, C. M., Irwin, J. G., Lloyd, G. O., Massey, S. W., Webb, A. H. & Yates, T. J. S., 1992- Preliminary results from the analysis of stone tablets from the National Material Exposure Programme (NMEP), Atmospheric Environment, 26, 189-198.
- Dreesen, R. & Dusar, M., 2004- Historical building stones in the province of Limburg (NE Belgium): role of petrography in provenance and durability assessment, Materials Characterization, 53, 273– 287.
- Giavarini, C., Santarelli, M. L., Natalini, R. & Freddi, F., 2008- A non-linear model of sulphation of porous stones: Numerical simulations and preliminary laboratory assessments”, Journal of Cultural Heritage, 9, 14-22.
- Gupta, V. & Ahmed, I., 2007- The effect of pH of water and mineralogical properties on the slake durability (degradability) of different rocks from the Lesser Himalaya, India, Engineering Geology, 95, 79-87.
- I.S.R.M. Rock characterization, 1981- In: Brown ET, editor. Testing and monitoring - ISRM suggested methods, Oxford, UK: Pergamon Press, 211p.
- Kamon, M., Ying, C. & Katsumi, T., 1996- Effect of acid rain on lime and cement stabilized soils, Japanese Geotechnical Society, 36 (4), 91-96.
- Moreiras, S., Paraguassu, A. & Ribeiro, R., 2008- Dimension stone for building facades: methodology for structural design, Bull Engineering Geology Environmental, 67, 53-57.
- Singh, T.N., Sharma, P.K., Khandelwal, M., 2006- Effect of pH on the Physico - mechanical properties of marble. Bulletin of Engineering Geology and the Environment 66 (1), 81-87
- Singh, T. N., Singh, S. K., Mishra, A., Singh, P. K. & Singh, V. K., 1999- Effect of acidic water on physico mechanical behavoiur of rock, Indian, Journal of Engineering and Material Sciences 6, 66-72.
- Singh, T. N., Verma, A. K., Singh, V., Sahu, A., 2005- Slake durability study of shaly rock and its prediction, Environmental Geology, 47, 246-253.
- Sunil, B.M., Nayak, S., Shrihari, S., 2006- Effect of pH on the geotechnical properties of laterite, Engineering Geology, 85, 197–203.
- Winkler, E. M., 1994- Stone in Architecture, 3rd edition, Springer-Verlag, 313p.
- Yavuz, H., Altindag, R., Sarac, S., Ugur, I. & Sengun, N., 2006- Estimating the index properties of deteriorated carbonate rocks due to freeze-thaw and thermal shock weathering, International Journal of Rock Mechanics and Mining sciences, 43, 767-775.
- Zappia, G., Sabbioni, C., Riontino, C., Gobbi, G. & Favoni, O., 1998- Exposure tests of building materials in urban atmosphere, The Science of the Total Environment, 224, 235-244.